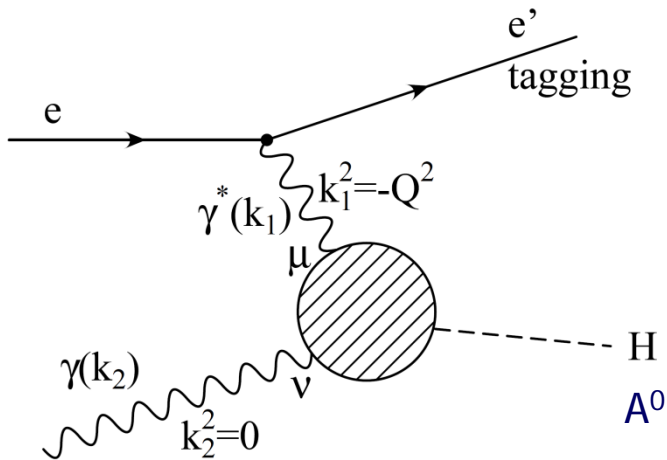


CP-odd Higgs Production in Two-photon Processes



植松 恒夫 (益川塾/京大)

日大・益川塾連携シンポジウム

於: キャンパスプラザ京都

2016年10月15-16日

内容

- 1.はじめに –Motivation–
2. 電子・光子衝突でのSM Higgs H^0 生成
3. 2HDMへの拡張 A^0 の生成断面積
4. 結論と今後の課題

N.Watanabe, Y. Kurihara, K.Sasaki & T.U. Phys. Lett. B728 (2014) 202

MISC-2013-10

N.Watanabe, Y. Kurihara, K.Sasaki & T.U. Phys. Rev. D90 (2014) 033015

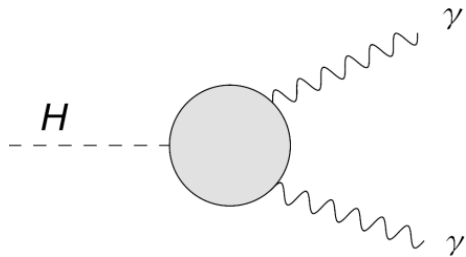
MISC-2014-03

K.Sasaki & T.U. in preparation

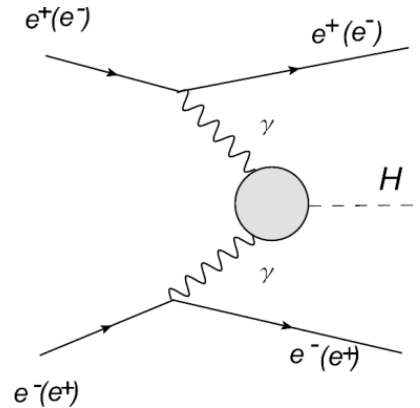
1. はじめに –Motivation–

- 光子への崩壊モード ($H \rightarrow 2\gamma$)とは逆過程 ($2\gamma \rightarrow H$) である e^+e^- 又は $e\gamma$ 衝突での2光子融合Higgs生成からHiggsの性質を調べる
- 遷移形状因子“transition form factor”の Q^2 依存性と生成断面積を標準模型Higgs粒子について調べた
- 2HDM/MSSMへ拡張: CP-odd Higgs A^0 のtransition FFと生成断面積・偏極依存性を調べる

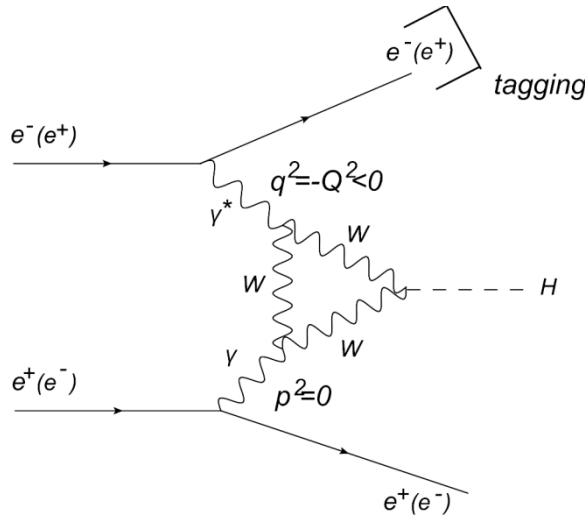
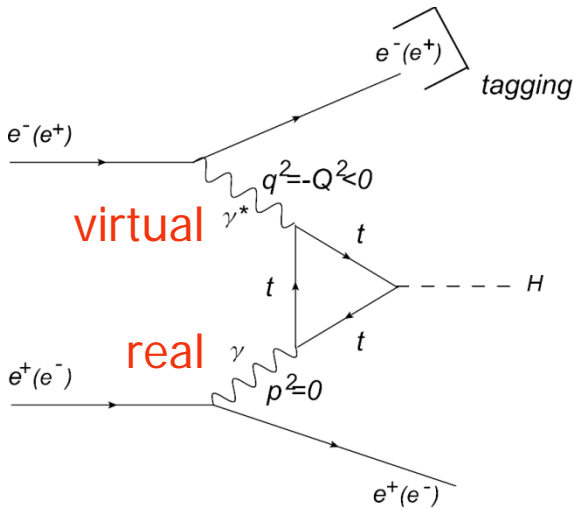
2. $e\gamma$ 衝突の2-Photon過程での Higgs生成



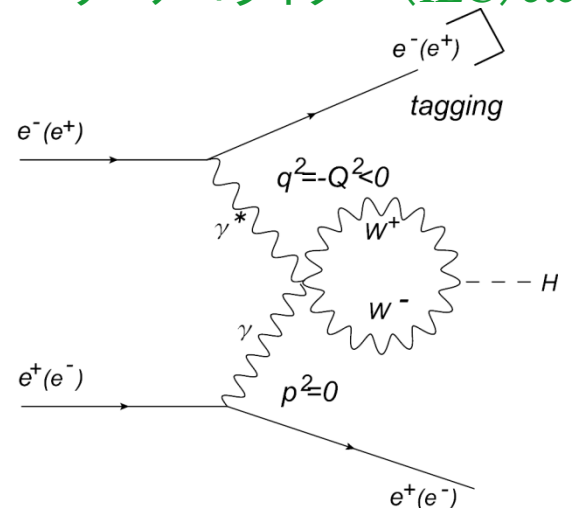
逆過程



e^+e^- の1ループでは

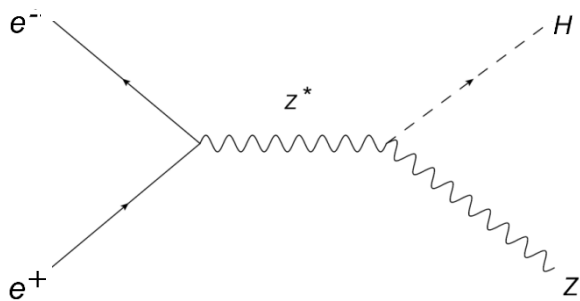


リニアコライダー(ILC) etc.

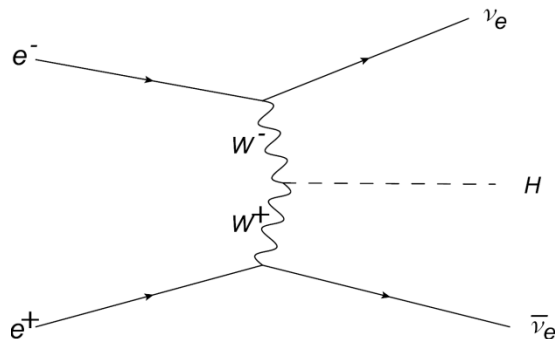


e⁺e⁻ 衝突のTree レベルでのHiggs生成

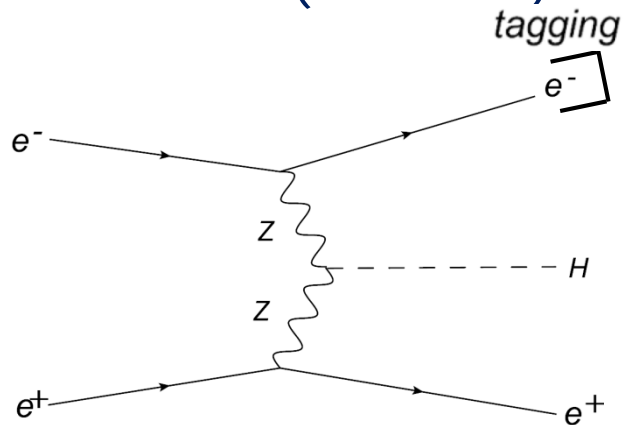
ZH production
(Higgs-strahlung
s-channel)



W-fusion (t-channel)



Z-fusion (t-channel)



散乱された電子を観測，すなわちsingle tagging を行う

この場合でもThe Z-fusionは tree-levelで効く



Z-fusion過程の寄与を避けるため e_y 衝突を考える

ey 衝突過程でのHiggs生成

仮想光子 と実光子の衝突過程

実光子からの深非弾性散乱

$$e(l) + \gamma(k_2) \rightarrow e'(l') + H(q)$$

$$\langle e'H | T | e\gamma \rangle = \bar{u}_{r'}(l') (-ie\gamma_\mu) u_r(l) \frac{-i}{k_1^2 + i\epsilon} A^{\mu\nu} \epsilon_\nu(k_2, \lambda_2)$$

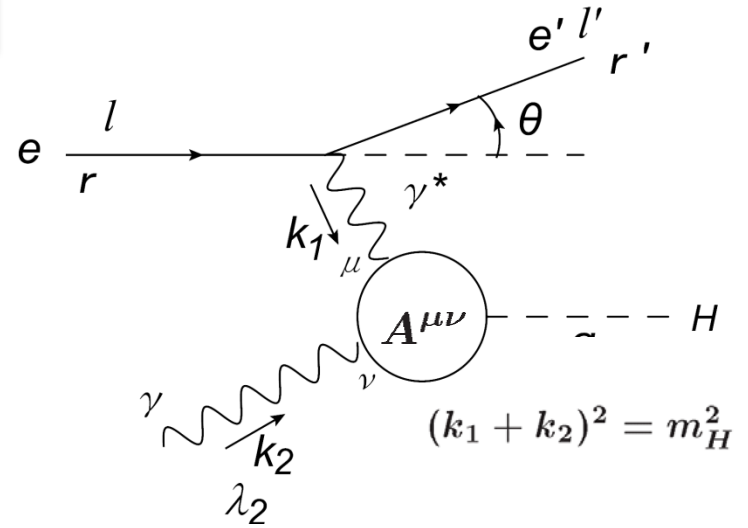
scattering amplitude for $\gamma^* + \gamma \rightarrow H$ $k_1^2 = -Q^2 < 0$

$$M = A^{\mu\nu} \epsilon_\mu(k_1) \epsilon_\nu(k_2) \quad k_2^\nu \epsilon_\nu(k_2) = 0, \quad k_2^2 = 0$$

ゲージ不変性よりテンソル分解

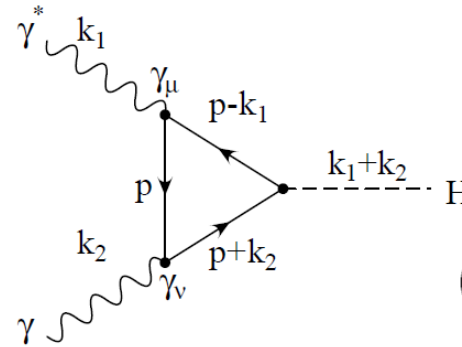
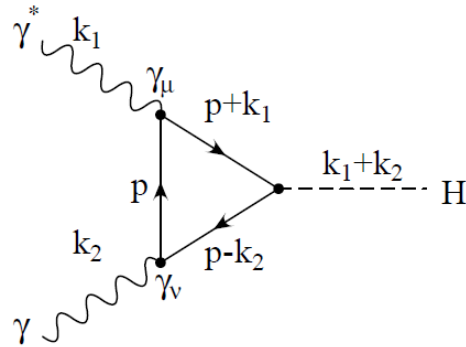
$$A^{\mu\nu} = [g^{\mu\nu} (k_1 \cdot k_2) - k_2^\mu k_1^\nu] S_1(m^2, Q^2, m_H^2) + \left[k_1^\mu k_2^\nu - \frac{k_1^2}{k_1 \cdot k_2} k_2^\mu k_2^\nu \right] S_2(m^2, Q^2, m_H^2)$$

$$M = [g^{\mu\nu} (k_1 \cdot k_2) - k_2^\mu k_1^\nu] S_1(m^2, Q^2, m_H^2) \epsilon_\mu(k_1) \epsilon_\nu(k_2)$$



Top-quarkループの寄与

N.Watanabe, Y. Kurihara, K.Sasaki
& T.U. Phys. Lett. B728 (2014)202



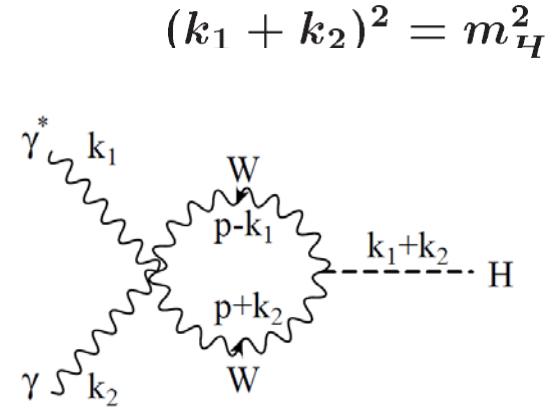
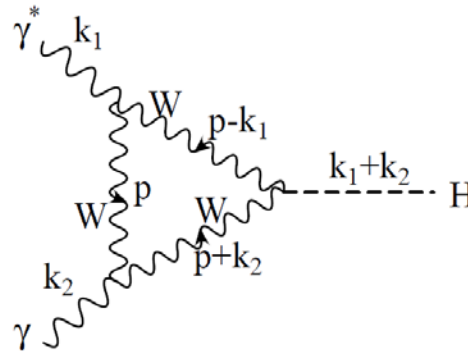
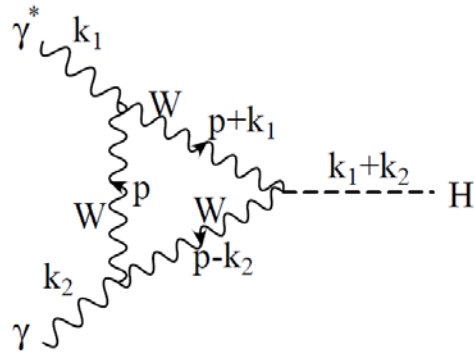
$$(k_1 + k_2)^2 = m_H^2$$

$$S_1(m_t^2, Q^2, m_H^2) = -\frac{ige^2}{(4\pi)^2} \frac{1}{m_W} \frac{4m_t^2}{m_H^2 + Q^2} \left\{ 2 + \frac{1}{2} \left(1 - \frac{4m_t^2}{m_H^2 + Q^2} \right) (4f(\tau) + g(\rho)) + \frac{2Q^2}{m_H^2 + Q^2} \left[2\sqrt{\tau - 1}\sqrt{f(\tau)} - \sqrt{\frac{1 + \rho}{\rho}}\sqrt{g(\rho)} \right] \right\}$$

$$f(\tau) \equiv \left[\sin^{-1} \sqrt{\frac{1}{\tau}} \right]^2, \quad \tau = \frac{4m_t^2}{m_H^2} \quad \text{for } \tau \geq 1 \quad \text{同じ関数が崩壊幅にも登場}$$

$$g(\rho) \equiv \left[\log \frac{\sqrt{\rho + 1} + \sqrt{\rho}}{\sqrt{\rho + 1} - \sqrt{\rho}} \right]^2, \quad \rho \equiv \frac{Q^2}{4m_t^2} > 0 \quad \text{新たに登場する関数}$$

W-bosonループの寄与



$$\begin{aligned}
 & S_1(m_W^2, Q^2, m_H^2) \\
 &= \frac{ige^2}{(4\pi)^2} \frac{1}{m_W} \frac{m_H^2}{m_H^2 + Q^2} \left\{ \frac{\tau}{1 + \rho\tau} [4\rho + 8\rho^2\tau + 6(1 + \rho\tau) - 3\tau] \left[f(\tau) + \frac{1}{4}g(\rho) \right] \right. \\
 & \left. + [4\rho + 2(1 + \rho\tau) + 3\tau] \times \left[1 - \frac{m_H^2\tau}{m_H^2 + Q^2} \sqrt{\rho(\rho + 1)}\sqrt{g(\rho)} + \frac{2Q^2}{m_H^2 + Q^2} \sqrt{\tau - 1}\sqrt{f(\tau)} \right] \right\}
 \end{aligned}$$

$$f(\tau) \equiv \left[\sin^{-1} \sqrt{\frac{1}{\tau}} \right]^2, \quad \tau = \frac{4m_W^2}{m_H^2} \quad \text{for } \tau \geq 1$$

$$g(\rho) \equiv \left[\log \frac{\sqrt{\rho + 1} + \sqrt{\rho}}{\sqrt{\rho + 1} - \sqrt{\rho}} \right]^2, \quad \rho \equiv \frac{Q^2}{4m_W^2} > 0$$

SM HiggsのTransition FF と微分断面積

遷移形状因子 transition form factor F_i は以下のように定義

$$F_i(m^2, Q^2, m_H^2) \equiv S_1(m^2, Q^2, m_H^2) / \left(\frac{ig e^2}{(4\pi)^2} \frac{1}{m_W} \right)$$

ここで $i = 1/2, 1$ Fermionループ $F_{1/2}$ W-boson ループ F_1

m : ループを回る粒子の質量 m_t または m_W

$$\frac{d\sigma}{dQ^2} = \frac{\alpha_{\text{em}}}{16Q^2} \left[1 + \left(\frac{E'}{E} \right)^2 \cos^4 \frac{\theta}{2} \right] \cdot \frac{g^2}{(4\pi)^2} \alpha_{\text{em}}^2 \frac{1}{m_W^2} |F_{\text{total}}(Q^2)|^2$$

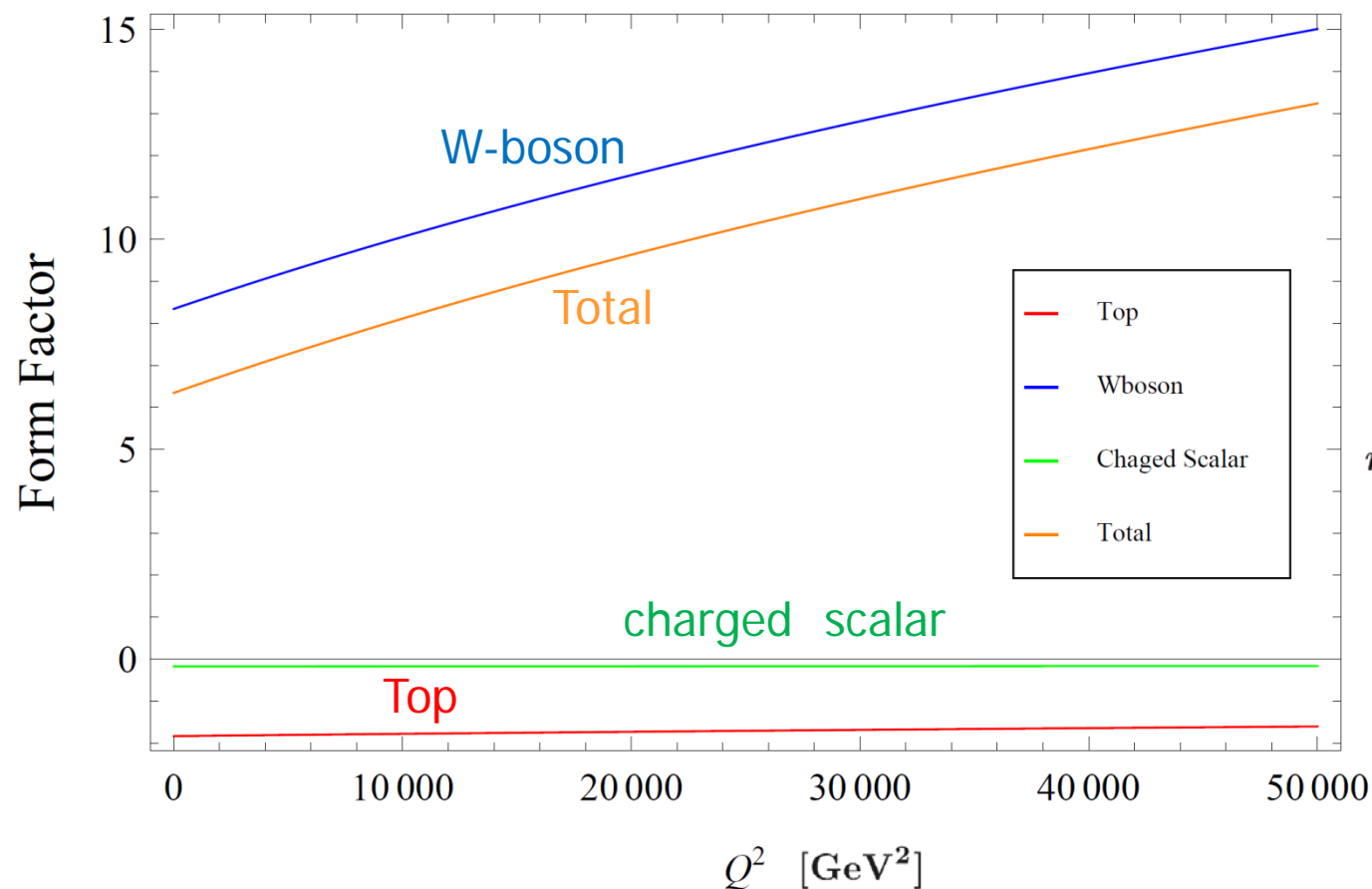
$$Q^2 = 4EE' \sin^2 \frac{\theta}{2}$$

$$F_{\text{total}}(Q^2) = N_c \sum_i e_i^2 F_{1/2,i}(\tau_i, \rho_i) + F_1(\tau_W, \rho_W)$$

$$\tau_i = \frac{4m_i^2}{m_H^2}, \quad \rho_i = \frac{Q^2}{4m_i^2}, \quad \tau_W = \frac{4m_W^2}{m_H^2}, \quad \rho_W = \frac{Q^2}{4m_W^2}$$

Transition FF

quark, W-boson, charged scalarのループのtransition form factorへの寄与

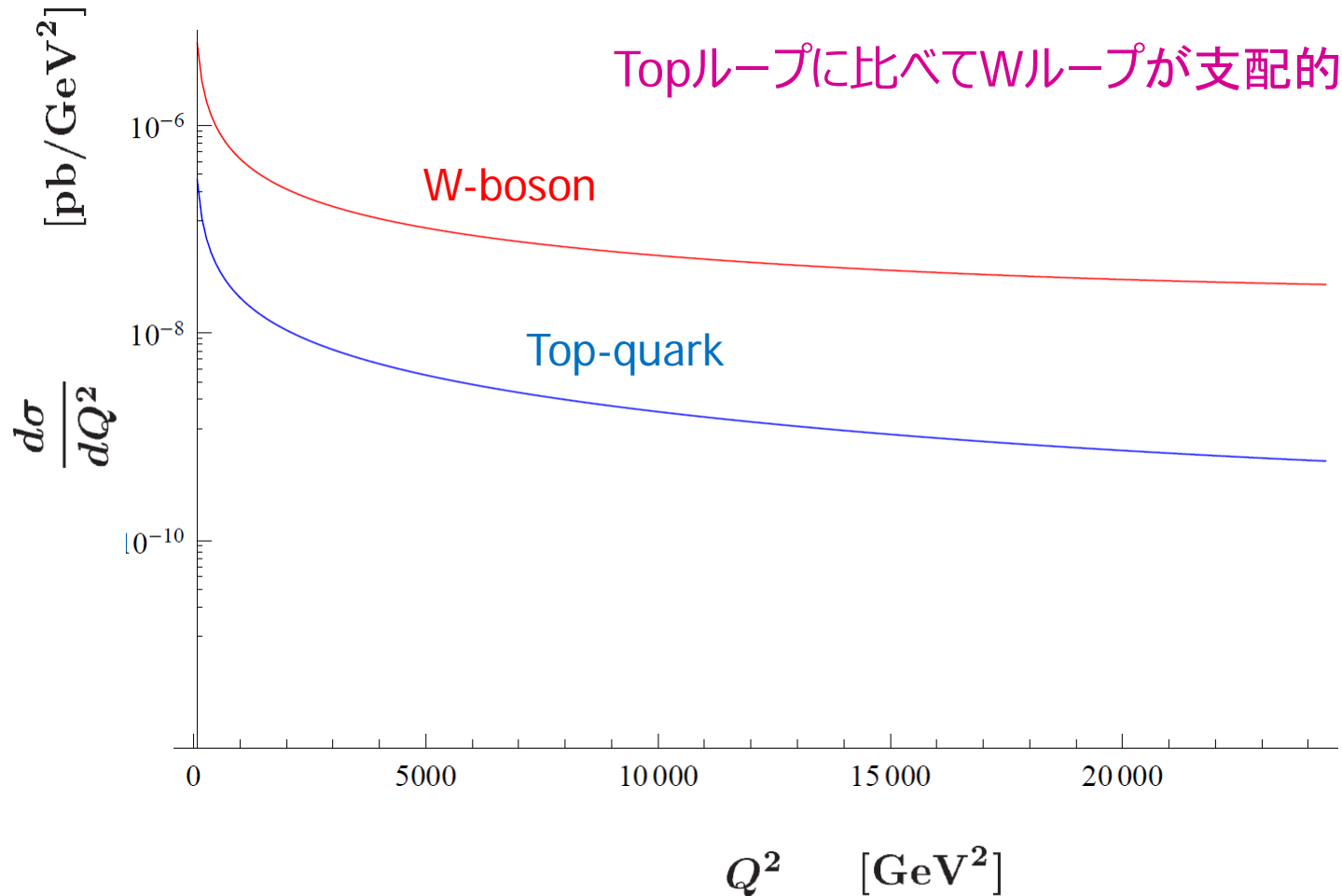


但し仮定

$$m_H^\pm = 200 \text{ GeV}$$

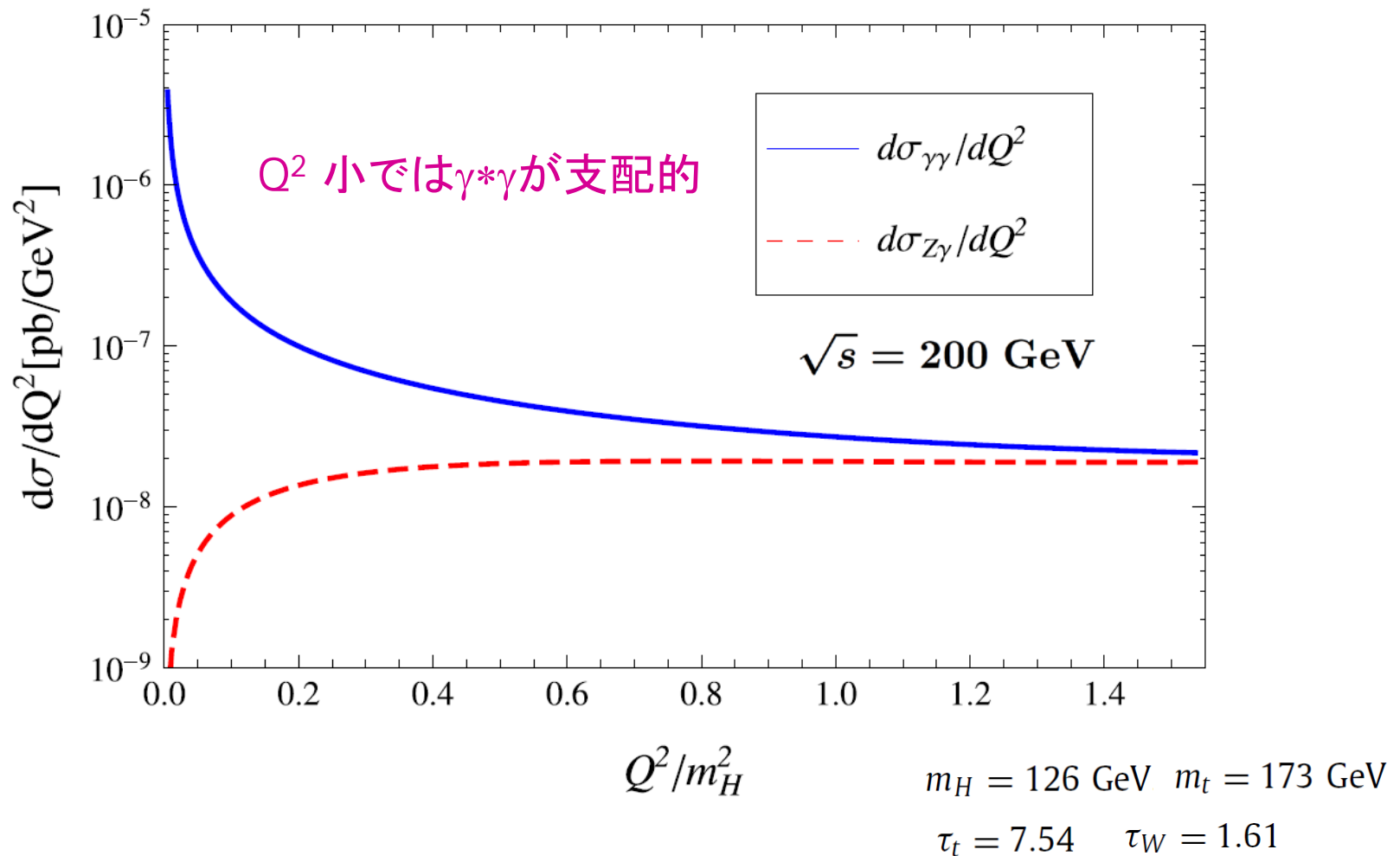
微分断面積

$$\sqrt{s} = 200 \text{ GeV}$$



$\gamma^*\gamma$ と $Z^*\gamma$ の寄与の比較

N.Watanabe, Y. Kurihara, K.Sasaki
& T.U. Phys. Lett. B728 (2014)202



3. MSSMへの拡張 A^0 の生成断面積

- Higgs Sectorのminimalな拡張

→ two-Higgs doublet model

- ここでは、2HDM type II or MSSMの場合を考察する。

$$H_1 = \begin{pmatrix} H_1^1 \\ H_1^2 \end{pmatrix} = \begin{pmatrix} \phi_1^{0*} \\ -\phi_1^- \end{pmatrix}, \quad H_2 = \begin{pmatrix} H_2^1 \\ H_2^2 \end{pmatrix} = \begin{pmatrix} \phi_2^+ \\ \phi_2^0 \end{pmatrix}$$

$$\langle H_1 \rangle = \begin{pmatrix} v_1 \\ 0 \end{pmatrix}, \quad \langle H_2 \rangle = \begin{pmatrix} 0 \\ v_2 \end{pmatrix}, \quad \tan \beta = v_2/v_1$$

- 5種類のHiggs粒子

Charged H^+ , H^- ; CP-even h^0 , H^0 ; CP-odd A^0

ここでは CP-oddのHiggs A^0 の

“transition form factor” の Q^2 依存性を求める

A⁰のCoupling

- A⁰ は CP-evenのh⁰やH⁰と異なりtree levelでW⁺W⁻ ZZ pairs にcoupleしない
- またA⁰ はcubic相互作用で他の2個のphysical Higgs bosonsとcoupleしない
- A⁰ の fermionへのcouplingは fermionの質量に比例する

→ we only consider the **top** quark contributions

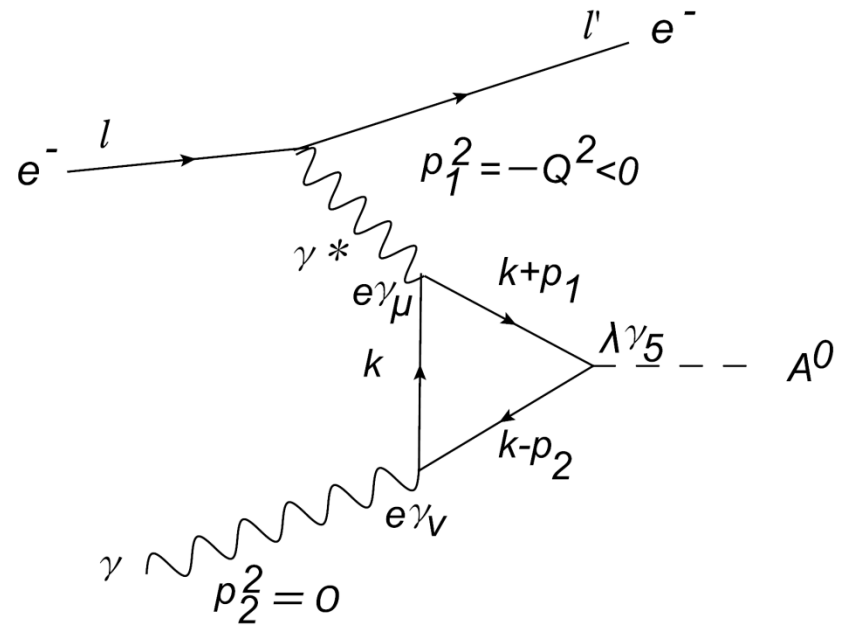
$$\begin{array}{l}
 A^0 \text{ --- } \left\langle \begin{array}{l} u \\ \bar{u} \end{array} \right. \quad - \frac{gm_u \cot \beta}{2m_W} \gamma_5 \quad \text{for up type quarks} \\
 A^0 \text{ --- } \left\langle \begin{array}{l} d \\ \bar{d} \end{array} \right. \quad - \frac{gm_d \tan \beta}{2m_W} \gamma_5 \quad \text{for down type quarks}
 \end{array}$$

ey衝突でのA⁰の生成

$$e^-(l) + \gamma(p_2) \rightarrow e^-(l') + A^0(p_1 + p_2)$$

$$p_1^2 = -Q^2, \quad p_2^2 = 0,$$

$$p_3^2 = (p_1 + p_2)^2 = -Q^2 + 2p_1 \cdot p_2$$



$$A_{\mu\nu} = \frac{-ige^2 \cot \beta}{(4\pi)^2} \frac{\tau}{2m_W} \frac{1}{1 + \rho\tau} [g(\rho) + 4f(\tau)] \varepsilon_{\mu\nu\alpha\beta} p_1^\alpha p_2^\beta$$

$$\equiv \tilde{S}(m_t^2, Q^2, m_A^2) \varepsilon_{\mu\nu\alpha\beta} p_1^\alpha p_2^\beta$$

Transition Form Factor of A⁰

$$\tilde{F}(m_t^2, Q^2, m_A^2) \equiv \tilde{S}_1(m_t^2, Q^2, m_A^2) / \left(\frac{ige^2}{(4\pi)^2} \frac{1}{m_W} \right)$$

$$= -\frac{1}{2} \cot \beta \frac{\tau}{1 + \rho\tau} [g(\rho) + 4f(\tau)]$$

ここで

$$\begin{aligned} f(\tau) &= \left[\sin^{-1} \sqrt{\frac{1}{\tau}} \right]^2 & \tau \geq 1 \\ &= -\frac{1}{4} \left[\log \frac{1 + \sqrt{1 - \tau}}{1 - \sqrt{1 - \tau}} - i\pi \right]^2 & \tau < 1 \\ g(\rho) &= \left[\log \frac{\sqrt{\rho + 1} + \sqrt{\rho}}{\sqrt{\rho + 1} - \sqrt{\rho}} \right]^2 \end{aligned}$$

今、 $\tau = (2m_t/m_A)^2$ なので、この値の大小に応じて場合分けする

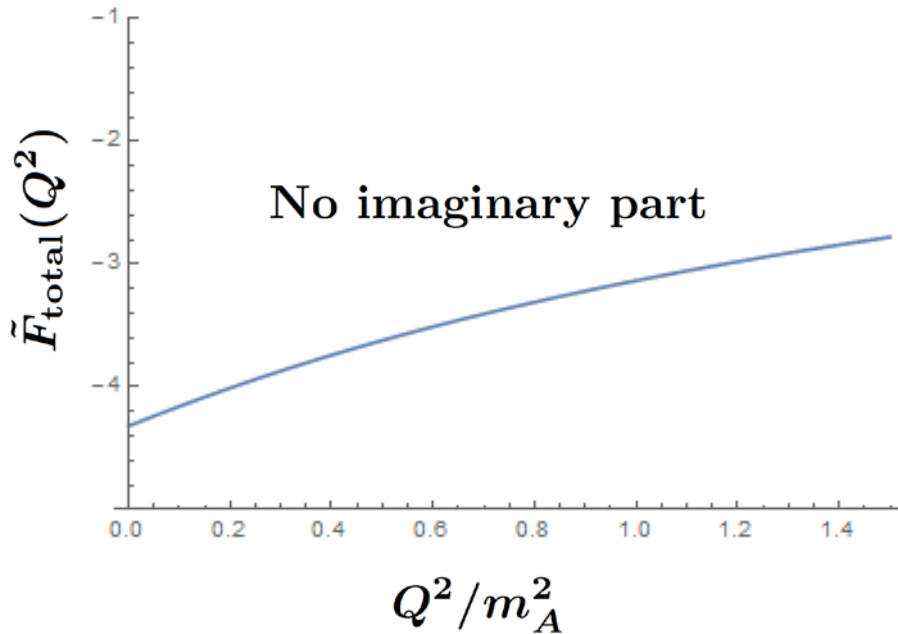
$$\begin{aligned} m_A < 2m_t \quad \text{すなわち} \quad \tau > 1 \quad \text{のとき} \quad f(\tau) &= \left[\sin^{-1} \sqrt{\frac{1}{\tau}} \right]^2 \\ m_A > 2m_t \quad \text{すなわち} \quad \tau < 1 \quad \text{のとき} &= -\frac{1}{4} \left[\log \frac{1 + \sqrt{1 - \tau}}{1 - \sqrt{1 - \tau}} - i\pi \right]^2 \end{aligned}$$

前者はrealであるのに対し、後者はcomplexとなる

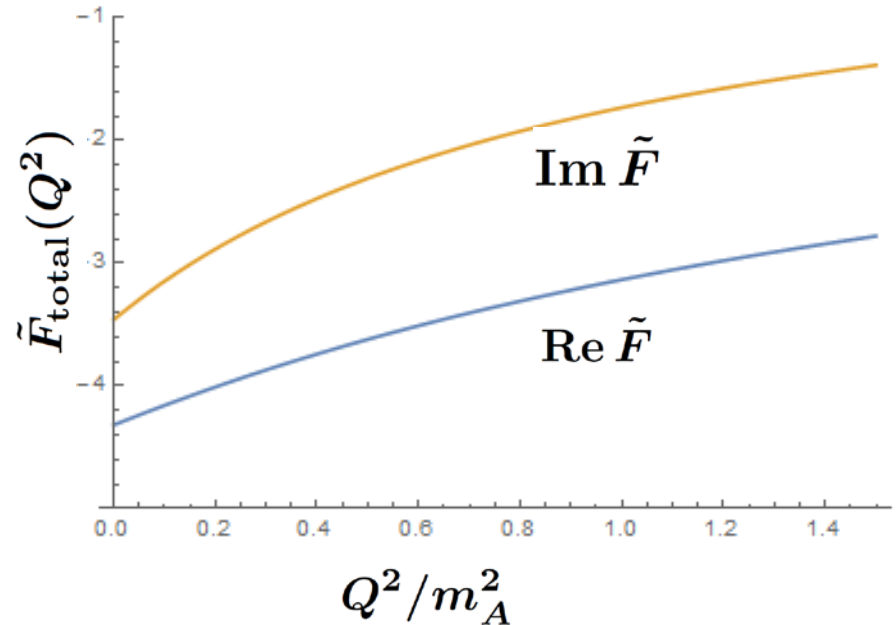
これに対応して、 $m_A = 300 \text{ GeV}$ と 400 GeV の2つの場合を考える

A^0 のTransition FF

$m_A = 300 \text{ GeV}$



$m_A = 400 \text{ GeV}$



$$\tilde{F}(\rho \rightarrow \infty, \tau) \longrightarrow -\frac{1}{2} \cot \beta \cdot \frac{1}{\rho} g(\rho) \longrightarrow -\cot \beta \cdot \frac{2m_t^2}{Q^2} \log^2 \frac{Q^2}{m_t^2}$$

A⁰生成－微分断面積

$$\frac{d\sigma(\gamma^*\gamma)}{dQ^2} = \frac{\alpha_{\text{em}}^3 g^2}{64\pi 4\pi} \frac{1}{Q^2} \left[1 + \frac{u^2}{s^2} \right] \frac{1}{m_W^2} |\tilde{F}_{\text{total}}(Q^2)|^2$$

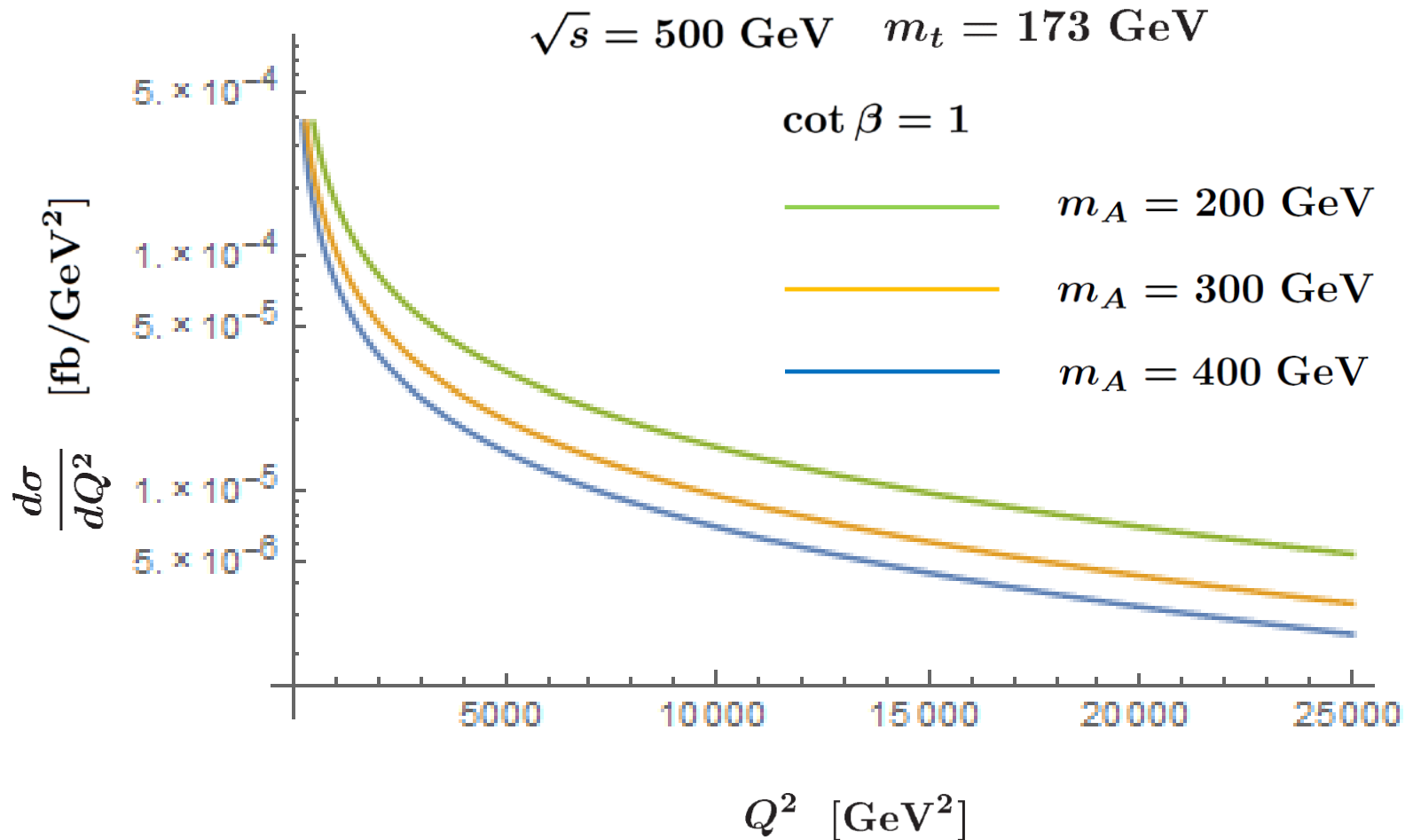
$$s = (l + p_2)^2, \quad u = (p_2 - l')^2, \quad \alpha_{\text{em}} = e^2/4\pi$$

$$\tilde{F}_{\text{total}}(Q^2) = \sum_f N_c e_f^2 \tilde{F}(\rho_f, \tau_f) \simeq 3 \cdot \left(\frac{2}{3}\right)^2 \tilde{F}(m_t^2, Q^2, m_A^2)$$

$$u = m_A^2 + Q^2 - s$$

$$\frac{d\sigma(\gamma^*\gamma)}{dQ^2} / \frac{\alpha_{\text{em}}^3 g^2}{64\pi 4\pi} = \frac{1}{Q^2} \left[1 + \frac{(m_A^2 + Q^2 - s)^2}{s^2} \right] \frac{1}{m_W^2} \left| \frac{4}{3} \tilde{F}(m_t^2, Q^2, m_A^2) \right|^2$$

微分断面積



CP-odd Higgs Production in Two-photon Processes

偏極したビームでの散乱過程

電子と光子の初期状態での偏極

$$P_e = \pm 1 \quad P_\gamma = \pm 1$$

$$\frac{d\sigma_{(e\gamma \rightarrow eA^0)}(s, P_e, P_\gamma)}{dQ^2} = \frac{1}{16\pi s^2} \times \sum_{\text{final electron spin}} |A(P_e, P_\gamma)|^2$$

$$A(P_e, P_\gamma) = A_{\gamma\gamma}(P_e, P_\gamma) + A_{Z\gamma}(P_e, P_\gamma)$$

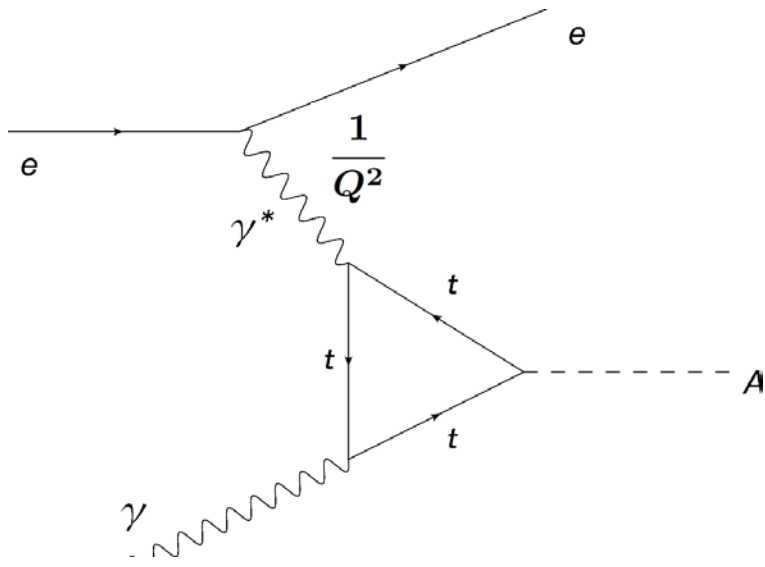
Z_γ fusionからの寄与は $\gamma\gamma$ fusionに比べて極めて小さい

$P_e = -1$ では、 $\gamma\gamma$ fusionと Z_γ fusionの寄与はconstructive

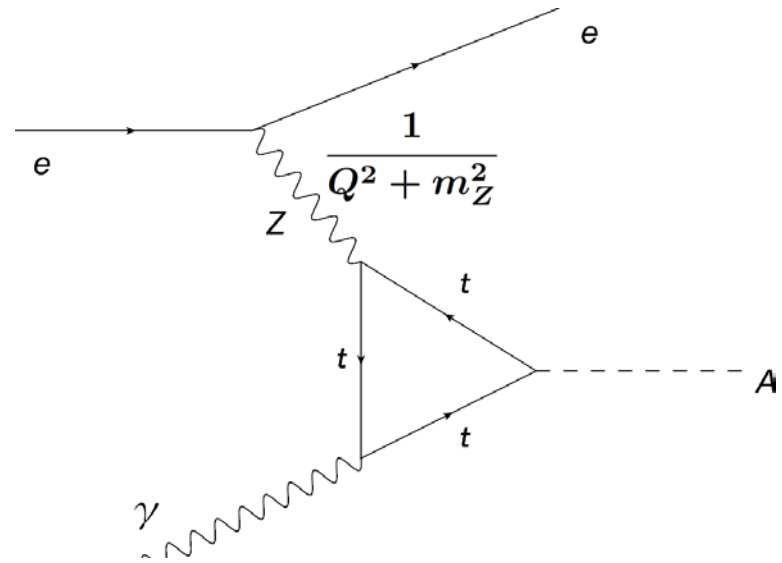
$P_e = +1$ では、 $\gamma\gamma$ fusionと Z_γ fusionの寄与はdestructive

$P_\gamma P_e = -1$ のとき、 $u=0$ で散乱振幅が消える

$\gamma^*\gamma$ -fusion と $Z\gamma$ -fusion



$\gamma^*\gamma$ -fusion



$Z\gamma$ -fusion

$m_A = 400 \text{ GeV}$ の場合

$\gamma\gamma$ fusion

$Z\gamma$ fusion

total

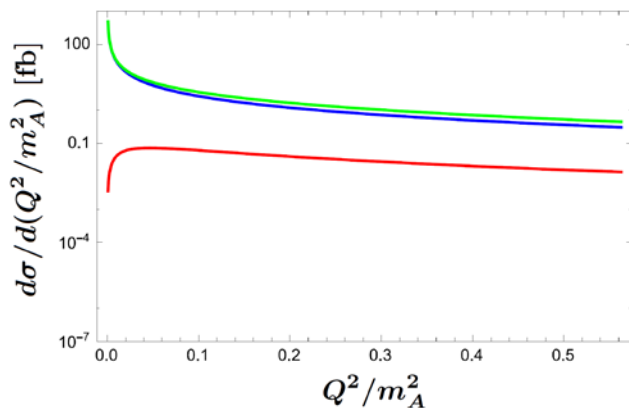


Figure 6: $\sqrt{s} = 500\text{GeV}, P_e = -1, P_\gamma = -1$

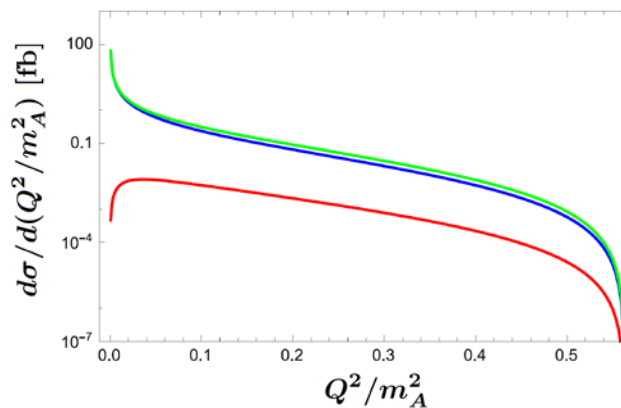


Figure 7: $\sqrt{s} = 500\text{GeV}, P_e = -1, P_\gamma = +1$

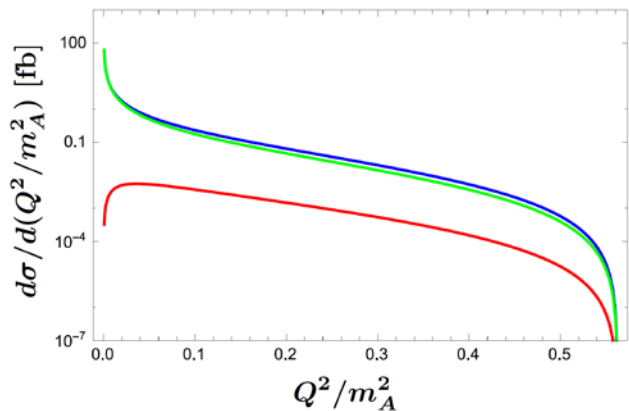


Figure 8: $\sqrt{s} = 500\text{GeV}, P_e = +1, P_\gamma = -1$

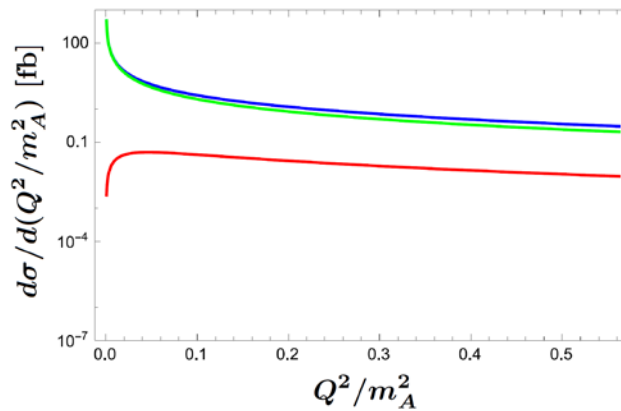


Figure 9: $\sqrt{s} = 500\text{GeV}, P_e = +1, P_\gamma = +1$

4. 結論と今後の課題

- Higgs bosonの“transition form factor”を Q^2 の関数としてその依存性をtop-quarkとW-boson ループからの寄与の計算によって調べた
- W-bosonループからの寄与がtop-quarkループからの寄与を上回る
- $t=0$ 付近の前方では $\gamma\gamma$ fusionが $Z\gamma$ fusionを上回る
- 今後の課題として様々なBSM (SUSY, Composite Modelなど) でのTFFの Q^2 依存性を調べる
- その手始めとしてMSSM/2HDMのCP-odd Higgsの生成断面積と偏極依存性を調べた
- 今後、MSSM/2HDM及びより一般のBSMを調べる